

第6章平面电磁波的反射和折射

Reflection and Refraction of Plane Waves

实际应用中电磁波在传播中会遇到不同媒质的分界面。

如：金属波导中传播的微波、光导纤维中传播的光波、地上传播的无线电波等。



讨论与引伸

如何确定分界面两侧场的分布？

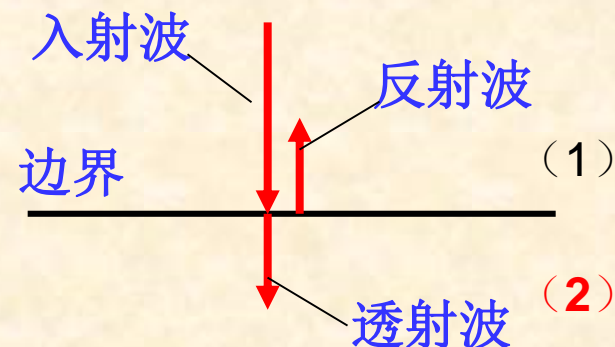
● **现象：**电磁波入射到不同媒质分界面上时，一部分波被分界面反射，一部分波透过分界面。

● **入射方式：**垂直入射、斜入射；

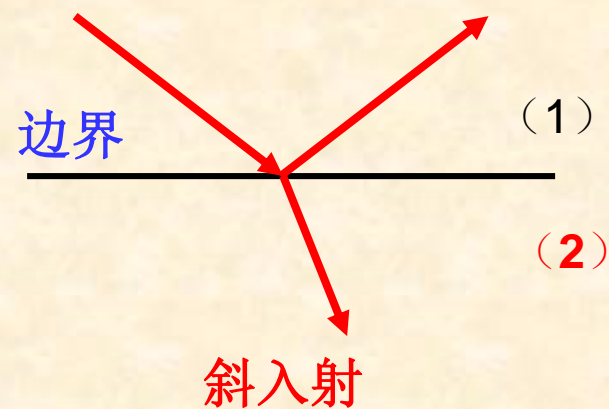
● **媒质类型：**
理想导体、理想介质

● **分析方法：**

入射波（已知） + 反射波（未知） $\xleftrightarrow{\text{边界条件}}$ 透射波（未知）



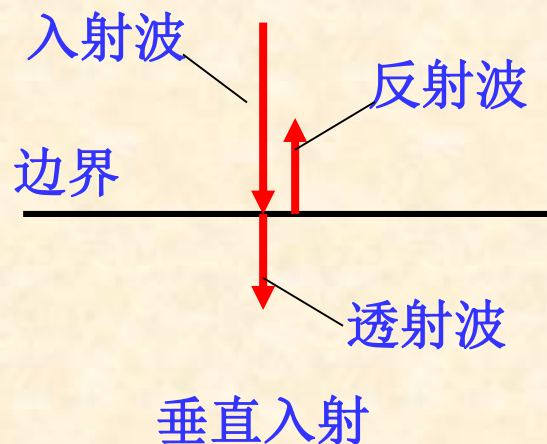
垂直入射



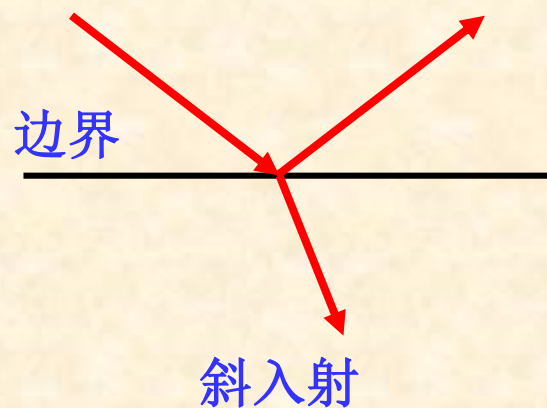
斜入射

- 平面波在边界上的反射及透射规律与媒质特性及边界形状有关。

- ✓ 仅讨论平面波在无限大的平面边界上的反射及透射特性。



✓ 首先讨论平面波向平面边界的垂直入射。



✓ 再讨论平面波以任意角度向平面边界的斜入射。

本章内容



§ 6.1 平面波对平面边界的垂直入射

Normal Incidence at a Plane Boundary

本节内容

- 对理想导体的垂直入射
- 对理想介质的垂直入射
- 对多层边界的垂直入射

§ 6.1 平面波对平面边界的垂直入射

思路： 根据边界条件（BC）来确定

BC： 边界条件（**Boundary Condition**）

入射波 (Incident Wave)

反射波 (Reflected Wave) ----- 一部分能量被反射回来形成

透射波 (Transmitted Wave) ----- 另一部分能量穿过边界形成

概念

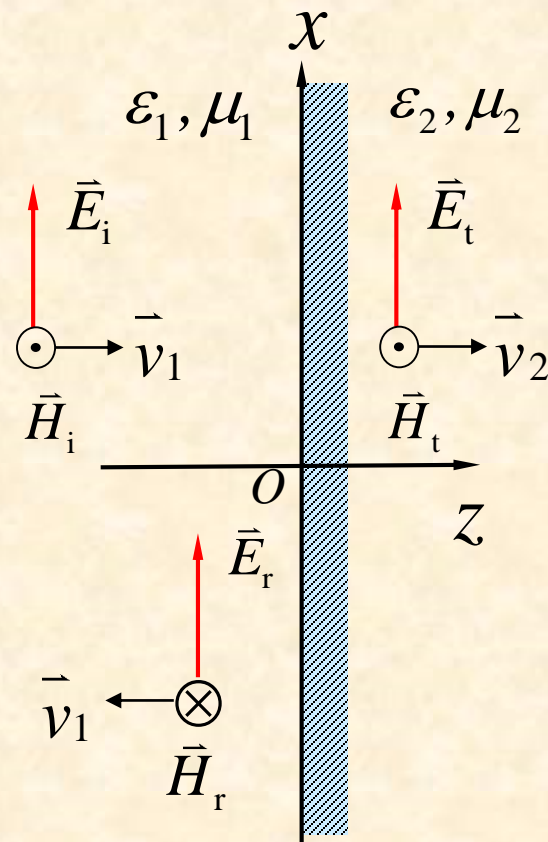
入射波：投射到分界面上的波。

反射波：从分界面返回，与入射波在同一媒质中传播的波。

透射波：进入分界面另一侧传播的波。

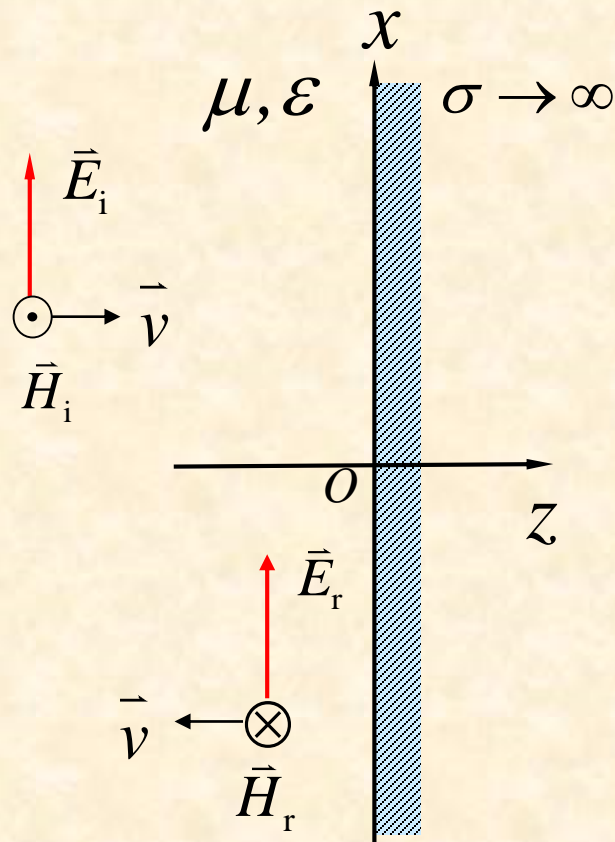
垂直入射：入射波的传播方向与分界面的法线平行。

反射波与折射波的特性由分界面两侧媒质的参数确定。



一、平面波对理想导体表面的垂直入射

✓线极化波的垂直入射



取理想介质1 ($\sigma_1 = 0$) 与理想导体2 ($\sigma_2 = \infty$) 的分界面为 $z=0$ 平面。

均匀平面波沿 z 轴方向由媒质1垂直射入媒质2。

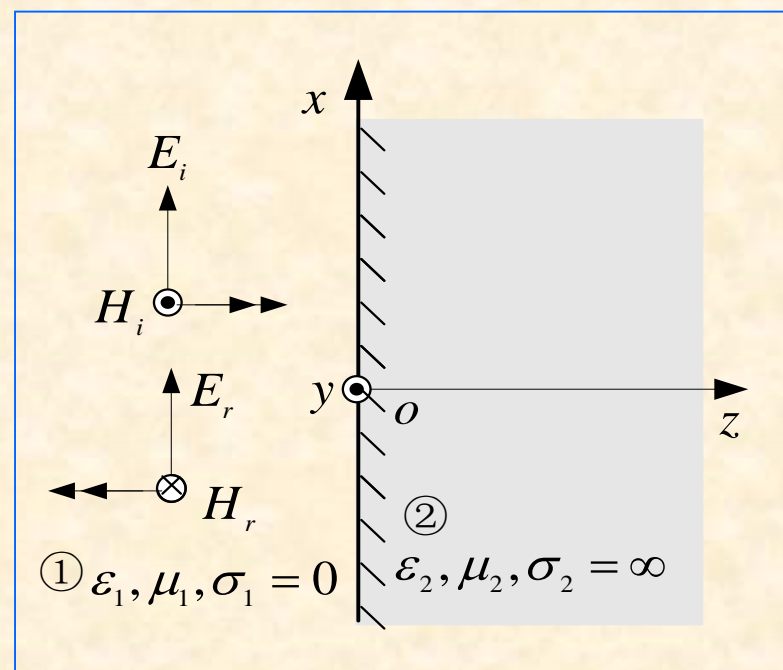
1. 入射场和反射场关系

思路: 入射场 $\xrightarrow{\text{BC}}$ 反射场 $\xrightarrow{\text{叠加}}$ 合成场

BC(边界条件):

电场的切向分量为 0: $\hat{\mathbf{n}} \times \bar{\mathbf{E}}_1 = 0$

存在切向磁场: $\hat{\mathbf{n}} \times \bar{\mathbf{H}}_1 = \bar{\mathbf{J}}_s$



由于电场沿理想导体切向为零, 假设入射波是 \mathbf{x} 向极化的, 如图, 则反射波也是 \mathbf{x} 向极化的(从而可相消)。

图6.1-1 平面波的垂直入射

入射波:

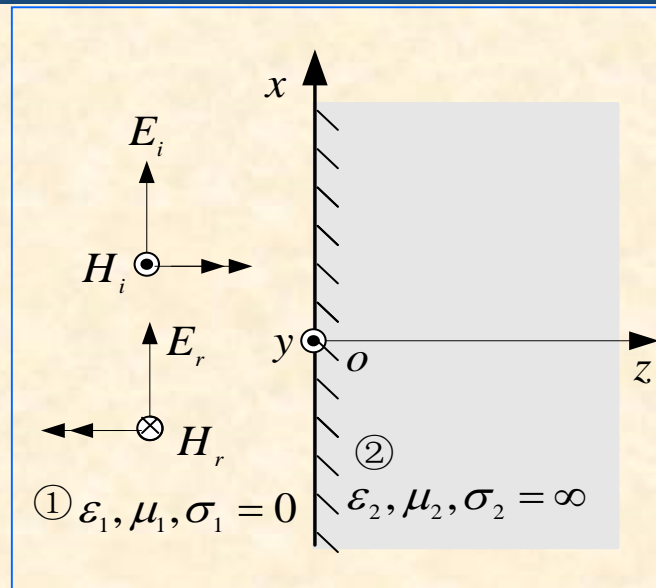
$$\bar{E}_i = \hat{x}E_{i0}e^{-jk_1z}$$

$$\bar{H}_i = \frac{1}{\eta_1} \hat{z} \times \bar{E}_i = \hat{y} \frac{E_{i0}}{\eta_1} e^{-jk_1z}$$

反射波:

$$\bar{E}_r = \hat{x}E_{r0}e^{jk_1z}$$

$$\bar{H}_r = \frac{1}{\eta_1} (-\hat{z}) \times \bar{E}_r = -\hat{y} \frac{E_{r0}}{\eta_1} e^{jk_1z}$$



其中 $k_1 = \omega\sqrt{\mu_1\epsilon_1} = \frac{2\pi}{\lambda_1}$, $\eta_1 = \sqrt{\frac{\mu_1}{\epsilon_1}}$

在介质空间内任一点的电场: $\bar{E}_1 = (E_{i0}e^{-jkz} + E_{r0}e^{jkz})\hat{x}$

边界条件: 理想导体表面上电场强度切向分量为零。

$$z=0 \quad \text{时} \quad E_{i0} + E_{r0} = 0 \longrightarrow E_{r0} = -E_{i0}$$

反射波电场可表示为: $\bar{E}_r = -E_{i0} e^{jkz} \hat{a}_x$

相应的反射波磁场为: $\bar{H}_r = -\frac{E_{r0}}{\eta} e^{jkz} \hat{a}_y = \frac{E_{i0}}{\eta} e^{jkz} \hat{a}_y$

媒质1中 ($z < 0$) , 合成电场强度和磁场强度复矢量分别为:

$$\bar{E}_1 = \bar{E}_i + \bar{E}_r = \hat{x} E_{i0} (e^{-jk_1 z} - e^{jk_1 z}) = -\hat{x} j 2 E_{i0} \sin(k_1 z)$$

$$\bar{H}_1 = \bar{H}_i + \bar{H}_r = \hat{y} \frac{E_{i0}}{\eta_1} (e^{-jk_1 z} + e^{jk_1 z}) = \hat{y} \frac{2 E_{i0}}{\eta_1} \cos(k_1 z)$$

合成场的瞬时形式为:

$$\bar{E}_1(t) = \hat{x} 2 E_{i0} \sin(k_1 z) \cos(\omega t - \frac{\pi}{2}) = \hat{x} 2 E_{i0} \sin(k_1 z) \sin \omega t$$

$$\bar{H}_1(t) = \hat{y} \frac{2 E_{i0}}{\eta_1} \cos(k_1 z) \cos \omega t$$

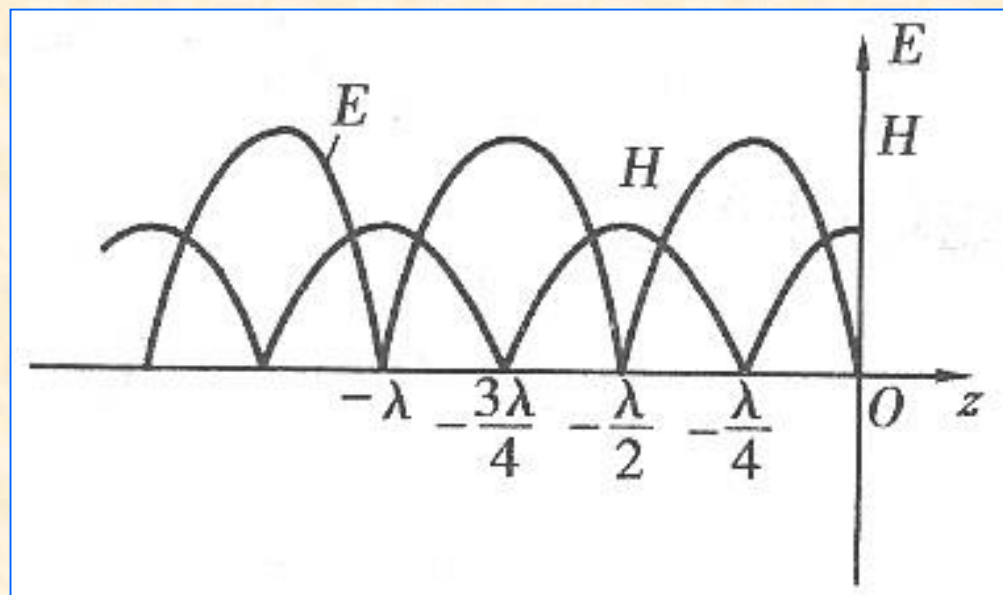
• 合成场的瞬时形式为:

$$\bar{\mathbf{E}}_1(t) = \hat{\mathbf{x}} 2E_{i0} \sin(k_1 z) \cos(\omega t - \frac{\pi}{2}) = \hat{\mathbf{x}} 2E_{i0} \sin(k_1 z) \sin \omega t$$

$$\bar{\mathbf{H}}_1(t) = \hat{\mathbf{y}} \frac{2E_{i0}}{\eta_1} \cos(k_1 z) \cos \omega t$$

结论: 合成电磁场的振幅随空间坐标 z 按正弦函数分布, 而在空间一点, 电磁场随时间作简谐振动。

——驻波分布



合成电磁场的振幅随空间坐标的分布

2. 合成场特点

(1) 驻波

$$\bar{\mathbf{E}}_1(t) = \hat{\mathbf{x}} 2E_{i0} \sin(k_1 z) \sin \omega t$$

电场强度振幅随 z 按正弦规律变化，零值发生于 $\sin(k_1 z) = 0$

$$\frac{2\pi}{\lambda_1} z = 0, -\pi, -2\pi, \dots$$

$$z = 0, -\lambda_1/2, -\lambda_1, \dots$$

尽管时间 t 会变化，但是这些零点位置固定不变，称为电场**波节点**。

电场最大点位于 $\sin(k_1 z) = \pm 1$

$$\frac{2\pi}{\lambda_1} z = -\frac{\pi}{2}, -\frac{3\pi}{2}, -\frac{5\pi}{2}, \dots$$

$$z = -\lambda_1/4, -\frac{3\lambda_1}{4}, -\frac{5\lambda_1}{4}, \dots$$

这些最大点的位置也不随时间而改变，称为电场**波腹点**。

当 $k_1 z = -n\pi$ 时, 即 $z = -n\frac{\lambda_1}{2}$ ($n = 0, 1, 2, \dots$) $\rightarrow \sin k_1 z = 0$

波节点: 在任意时刻, 电场强度的值总为零的点。

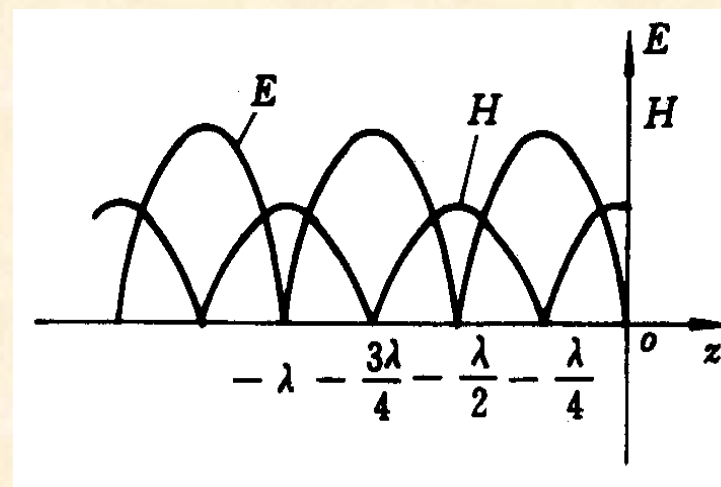
当 $k_1 z = -\frac{\pi}{2}(2n+1)$ 时, 即 $z = -(2n+1)\frac{\lambda_1}{4}$ ($n = 0, 1, 2, \dots$)

$$\rightarrow |\sin kz| = 1$$

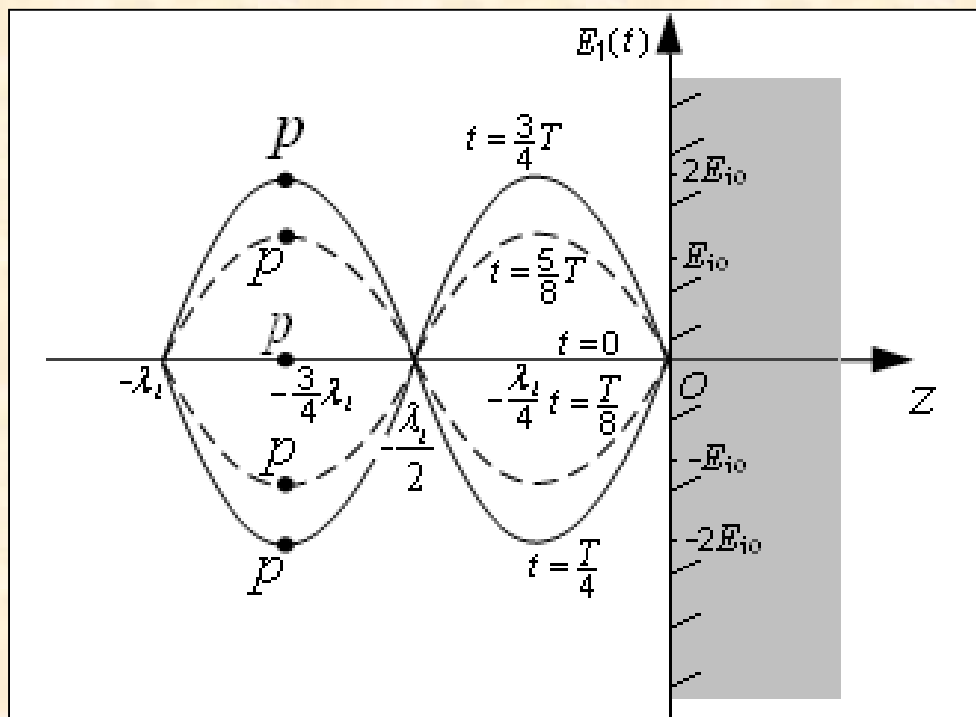
波腹点: 任意时刻, 电场强度的值为最大的点。

驻波: 这种波节点和波腹点位置固定的波称为驻波。

纯驻波: 节点处值为零的驻波称为纯驻波。

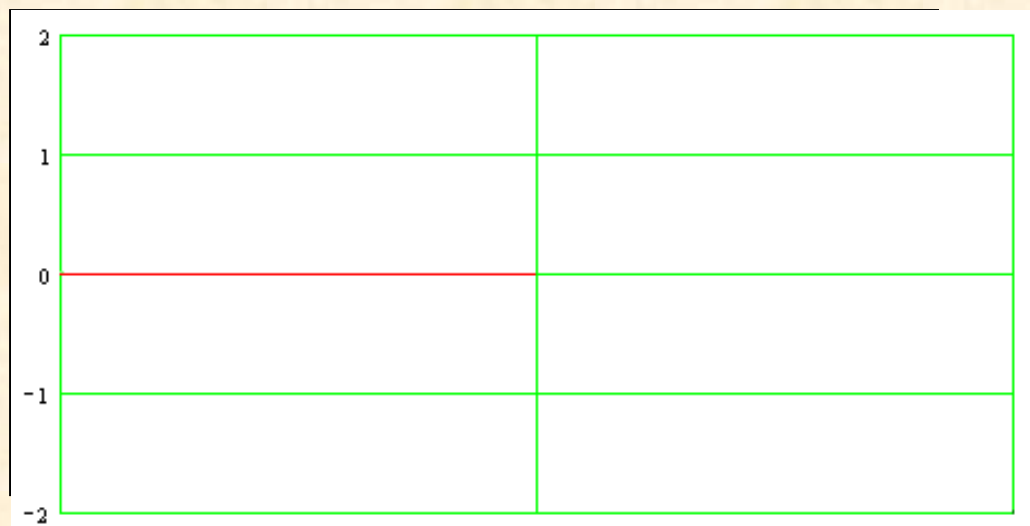


$$\bar{\mathbf{E}}_1(t) = \hat{\mathbf{x}} 2E_{i0} \sin(k_1 z) \sin \omega t$$



$t=0$ 时,	$\mathbf{E}_1(t) = 0$, 沿X轴
$t=T/8,$	$\mathbf{E}_1(t) = \sqrt{2}E_{i0} \sin(k_1 z)$
$t=T/4,$	$\mathbf{E}_1(t) = 2E_{i0} \sin(k_1 z)$
$t=3T/8,$	$\mathbf{E}_1(t) = \sqrt{2}E_{i0} \sin(k_1 z)$
$t=T/2,$	$\mathbf{E}_1(t) = 0$
$t=5T/8, 7T/8,$	$\mathbf{E}_1(t) = -\sqrt{2}E_{i0} \sin(k_1 z)$
$t=3T/4,$	$\mathbf{E}_1(t) = -2E_{i0} \sin(k_1 z)$

图6.1-2 不同瞬间的驻波



动画
垂直入射于理想
导体平面波的反射

- 空间各点的电场都随时间 t 按正弦规律变化，但是波腹和波节点的位置均固定不变。
- 这种波与行波不同，它是驻立不动的，称之为驻波。
- 驻波就是波腹点和波节点固定不动的电磁波。

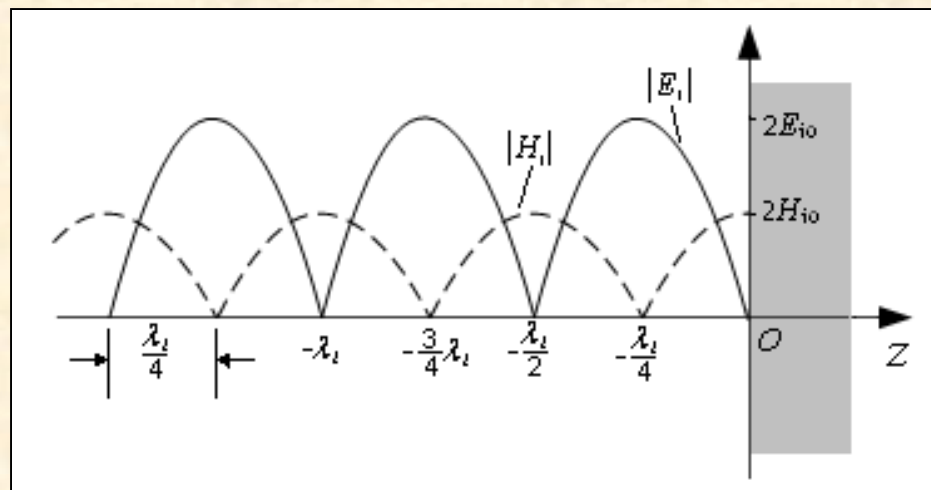
驻波的物理意义：

驻波是振幅相等的两个反向行波——入射波和反射波相互叠加的结果。

在电场波腹点，二者电场同相叠加，故振幅呈现最大值；

在电场波节点，二者电场反相叠加，互相抵消为零。

由图知，



- 电场波节点和波腹点每隔 $\lambda/4$ 交替出现；

电场波腹点相隔 $\lambda/2$ ， 电场波节点也相隔 $\lambda/2$ ；

--这个特性在实验和实际中被用于测量驻波的工作波长。

驻波电磁场振幅

- 磁场的波腹点是电场的波节点，
磁场的波节点是电场的波腹点。

---例如在 $z=0$ 点，反射电场与入射电场反相抵消，反射磁场与入射磁场同相相加：

$$\bar{E}_1|_{z=0} = \hat{x}E_{i0}(1-1) = 0$$

$$\bar{H}_1|_{z=0} = \hat{y}H_{i0}(1+1) = \hat{y}2H_{i0}$$

(2) 面电流

由BC，理想导体分界面两侧的磁场分量不连续，
分界面上存在面电流：

$$\bar{\mathbf{J}}_s = \hat{\mathbf{n}} \times \bar{\mathbf{H}}_1 \big|_{z=0} = -\hat{\mathbf{z}} \times \hat{\mathbf{y}} 2H_{i0} = \hat{\mathbf{x}} 2H_{i0}$$

$$\bar{\mathbf{H}}_1 = \bar{\mathbf{H}}_i + \bar{\mathbf{H}}_r = \hat{\mathbf{y}} \frac{E_{i0}}{\eta_1} (e^{-jk_1 z} + e^{jk_1 z}) = \hat{\mathbf{y}} \frac{2E_{i0}}{\eta_1} \cos(k_1 z) = \hat{\mathbf{y}} 2H_{i0} \cos(k_1 z)$$

(3) 功率流密度

平均功率流密度（平均坡印廷矢量）为：

$$\bar{S}_1^{av} = \frac{1}{2} \text{Re}[\bar{E} \times \bar{H}^*]$$

$$\bar{E}_1 = -\hat{x}j2E_{i0} \sin(k_1 z)$$

$$\bar{H}_1 = \hat{y} \frac{2E_{i0}}{\eta_1} \cos(k_1 z)$$

$$\bar{S}_1^{av} = \hat{z} \frac{1}{2} \text{Re} \left[-4j \frac{E_{i0}^2}{\eta} \sin kz \cos kz \right] = 0$$

驻波没有单向流动的实功率，它不能传输能量，只有虚功率。

瞬时功率流密度为

$$\bar{E}_1(t) = \hat{x} 2E_{i0} \sin(k_1 z) \sin \omega t$$

$$\bar{H}_1(t) = \hat{y} \frac{2E_{i0}}{\eta_1} \cos(k_1 z) \cos \omega t$$

$$\begin{aligned} \bar{S}_1(t) &= \bar{E}_1(t) \times \bar{H}_1(t) \\ &= \hat{z} \frac{4E_{i0}^2}{\eta_1} \sin(k_1 z) \cos(k_1 z) \sin(\omega t) \cos(\omega t) \\ &= \hat{z} \frac{E_{i0}^2}{\eta_1} \sin(2k_1 z) \sin(2\omega t) \end{aligned}$$

结论：瞬时功率流随时间以 $T/2$ 为周期按正弦规律变化

$$\bar{S}_1(t) = \hat{z} \frac{E_{i0}^2}{\eta_1} \sin(2k_1 z) \sin(2\omega t)$$

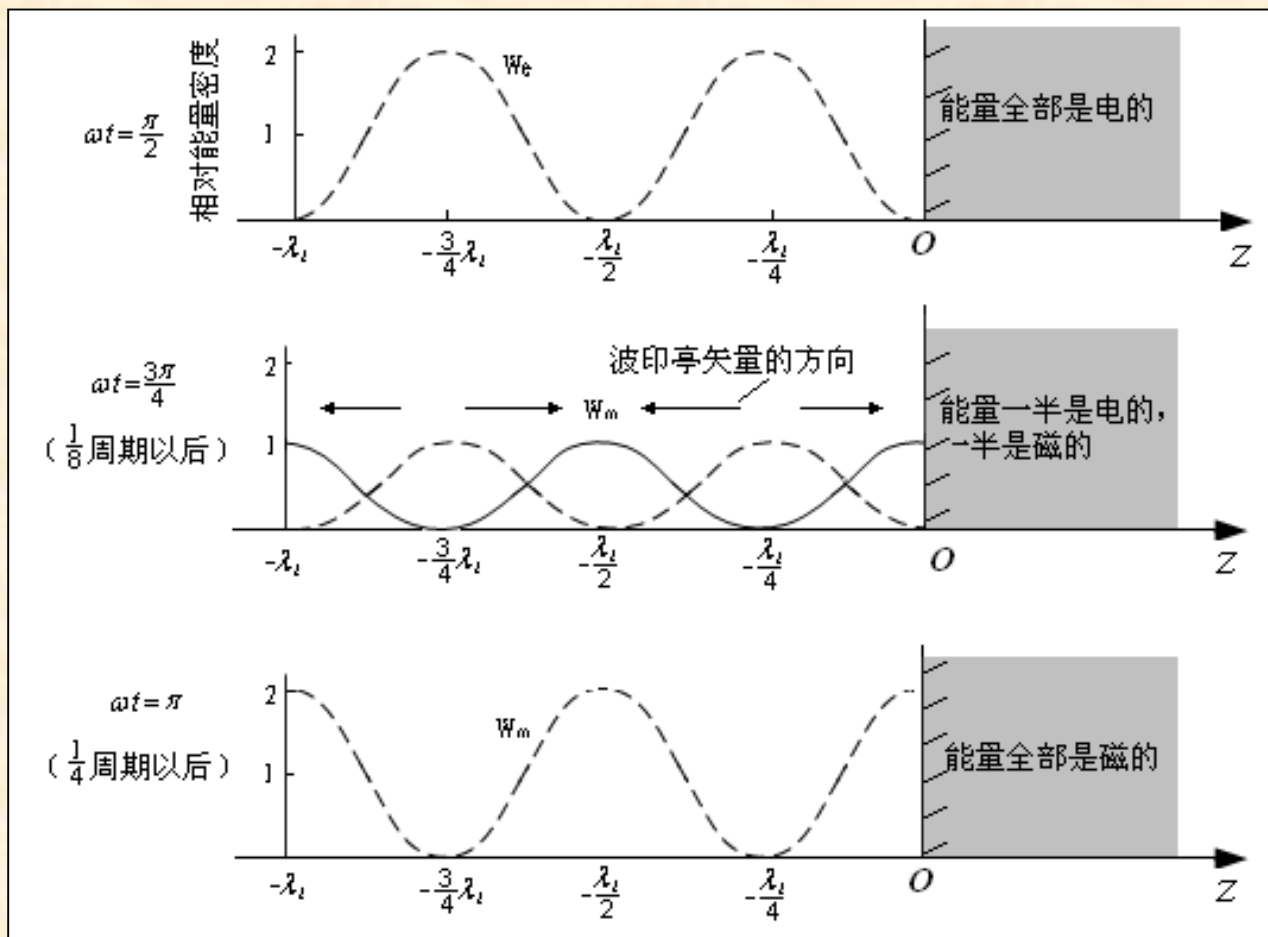


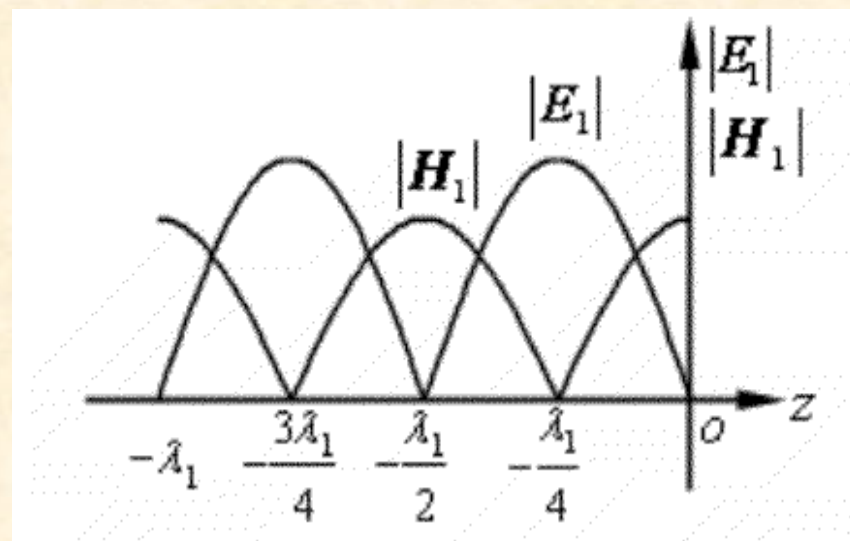
图6.1-4 驻波场的瞬时电能和磁能密度分布

结论:

- 当均匀平面波垂直入射到理想导体表面时，在表面上发生全反射，反射波与入射波的迭加在自由空间中形成驻波。
- 在理想导体表面上，电场为零，磁场为最大值。
- 根据边界条件可知，电磁波将在导体表面上感应出面电流，
即 $z = 0$ 处 $\bar{J}_s = \hat{n} \times \bar{H}_1|_{z=0} = -\hat{z} \times \hat{y} 2H_{i0} = \hat{x} 2H_{i0}$
- 在自由空间中，波的平均坡印廷矢量为零，可见，驻波不能传输电磁能量，而只存在电场能和磁场能的相互转换。

合成波的特点

- 媒质1中的合成波是驻波。
电场振幅的最大值为 $2E_{im}$ ，
最小值为0；磁场振幅的最大值为 $2E_{im}/\eta_1$ ，最小值也为0。



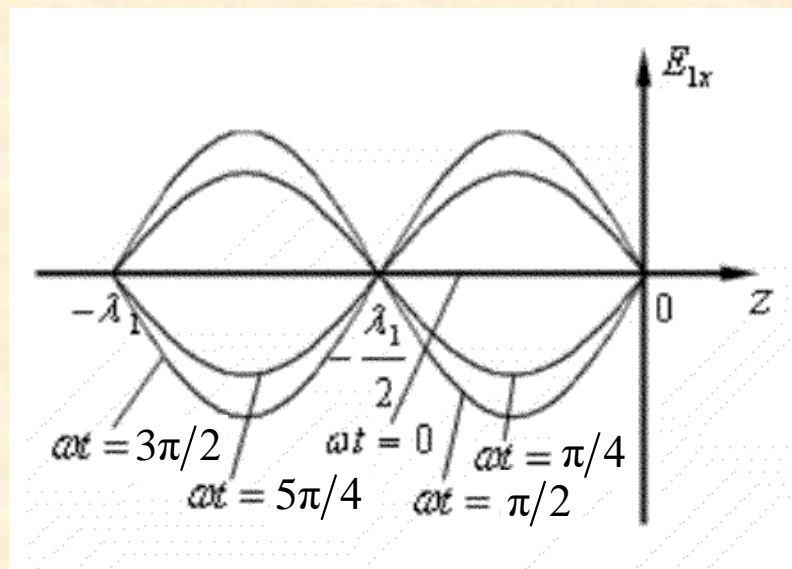
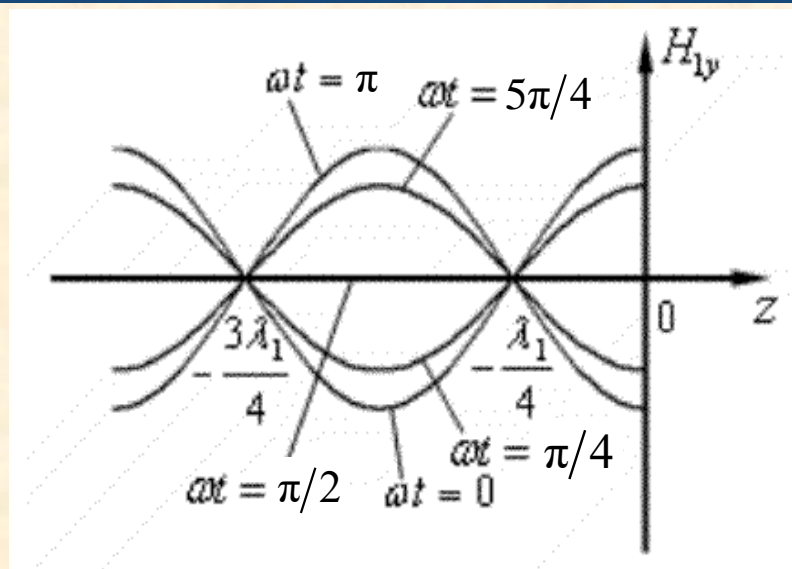
- 电场波节点 ($|E_1(z)|$ 的最小值的位置)

$$k_1 z_{\min} = -n\pi \quad \longrightarrow \quad z_{\min} = -\frac{n\lambda_1}{2} \quad (n = 0, 1, 2, 3, \dots)$$

- 电场波腹点 ($|\vec{E}_1(z)|$ 的最大值的位置)

$$k_1 z_{\max} = -\frac{\pi}{2}(2n+1) \quad \longrightarrow \quad z_{\max} = -\frac{(2n+1)\lambda_1}{4} \quad (n = 0, 1, 2, 3, \dots)$$

- \vec{E}_1 、 \vec{H}_1 在时间上有 $\pi/2$ 的相移。
- \vec{E}_1 、 \vec{H}_1 在空间上错开 $\lambda/4$ ，电场的波腹（节）点正好是磁场的波节腹）点。
- 坡印廷矢量的平均值为零，不发生能量传输过程，仅在两个波节间进行电场能量和磁场能的交换。



➤ 圆极化波的垂直入射

入射波电场: $\vec{E}_i = E_{i0} e^{-jkz} (\hat{a}_x - j\hat{a}_y)$ 右旋圆极化波

反射波电场: $\vec{E}_r = -E_{i0} e^{jkz} (\hat{a}_x - j\hat{a}_y)$ 左旋圆极化波

合成波电场为: $\vec{E} = \vec{E}_i + \vec{E}_r = -j2E_{i0} \sin kz (\hat{a}_x - j\hat{a}_y)$ 纯驻波

例1: 有一频率为100MHz, x 方向极化的均匀平面波, 从空气垂直入射到 $z=0$ 的理想导体表面上, 设入射波电场强度振幅为 6mV/m , 试写出:

- (1) 入射波电场强度 \bar{E}_i 和磁场强度 \bar{H}_i 的复数和瞬时表达式;
- (2) 反射波电场强度 \bar{E}_r 和磁场强度 \bar{H}_r 的复数和瞬时表达式;
- (3) 空气中的合成场 \bar{E} 和 \bar{H} ;
- (4) 空气中离界面第一个电场强度波腹点的位置;
- (5) 理想导体表面的感应电流密度。

解: (1)入射波电场强度复数形式 $\bar{E}_i = \hat{x}E_{i0}e^{-jk_1z}$

$$E_{i0} = 6 \times 10^{-3} \text{ V/m}$$

$$k_1 = \omega \sqrt{\mu_0 \epsilon_0} = 2\pi f \frac{1}{1/\sqrt{\mu_0 \epsilon_0}}$$

$$= \frac{2\pi f}{c} = \frac{2\pi \times 100 \times 10^6}{3 \times 10^8} = \frac{2}{3} \pi \text{ rad/m}$$

$$\eta_1 = \eta_0 = \sqrt{\frac{\mu_0}{\epsilon_0}} = 120\pi$$

复数表达式为：

$$\begin{cases} \bar{E}_i = \hat{x}6 \times 10^{-3} \times e^{-j\frac{2}{3}\pi z} \\ \bar{H}_i = \frac{1}{\eta} \hat{z} \times \bar{E}_i = \hat{y} \frac{10^{-4}}{2\pi} e^{-j\frac{2}{3}\pi z} \end{cases}$$

瞬时表达式为：

$$\begin{cases} \bar{E}_i(z, t) = \text{Re}[\bar{E}_i e^{j\omega t}] = \hat{x}6 \times 10^{-3} \cos\left(2\pi \times 10^8 t - \frac{2}{3}\pi z\right) \\ \bar{H}_i(z, t) = \hat{y} \frac{10^{-4}}{2\pi} \cos\left(2\pi \times 10^8 t - \frac{2}{3}\pi z\right) \end{cases}$$

(2) 反射波电磁场复数形式

$$E_{r0} = -E_{i0} \quad \longrightarrow \quad \begin{cases} \bar{E}_r = -\hat{x}6 \times 10^{-3} \times e^{j\frac{2}{3}\pi z} \\ \bar{H}_r = \hat{y} \frac{10^{-4}}{2\pi} e^{j\frac{2}{3}\pi z} \end{cases}$$

瞬时表达式为：

$$\begin{cases} \bar{E}_r(z, t) = -\hat{x}6 \times 10^{-3} \cos\left(2\pi \times 10^8 t + \frac{2}{3}\pi z\right) \\ \bar{H}_r(z, t) = \hat{y} \frac{10^{-4}}{2\pi} \cos\left(2\pi \times 10^8 t + \frac{2}{3}\pi z\right) \end{cases}$$

(3)空气中的合成场复数形式

$$\bar{E} = \bar{E}_i + \bar{E}_r = -\hat{x}j12 \times 10^{-3} \sin\left(\frac{2}{3}\pi z\right)$$

$$\bar{H} = \bar{H}_i + \bar{H}_r = \hat{y} \frac{10^{-4}}{\pi} \cos\left(\frac{2}{3}\pi z\right)$$

瞬时表达式为：

$$\begin{aligned} \bar{E}(z, t) &= \text{Re}(\bar{E}e^{j\omega t}) \\ &= \hat{x}12 \times 10^{-3} \sin\left(\frac{2}{3}\pi z\right) \sin(2\pi \times 10^8 t) \end{aligned}$$

$$\begin{aligned} \bar{H}(z, t) &= \text{Re}(\bar{H}e^{j\omega t}) \\ &= \hat{y} \frac{10^{-4}}{\pi} \cos\left(\frac{2}{3}\pi z\right) \cos(2\pi \times 10^8 t) \end{aligned}$$

(4) 在空气中离开界面第一个电场强度波腹点位于

$$\sin\left(\frac{2}{3}\pi z\right) = 1 \quad \text{即:} \quad \frac{2}{3}\pi z = -\frac{\pi}{2}$$

$$\text{得: } z = -0.75 \quad \text{m}$$

(5) 在 $z=0$ 的理想导体边界上感应电流密度:

$$\text{空气中合成磁场: } \bar{H}(z, t) = \hat{y} \frac{10^{-4}}{\pi} \cos\left(\frac{2}{3}\pi z\right) \cos(2\pi \times 10^8 t)$$

$$\begin{aligned} \text{则: } \bar{J}_s &= \hat{n} \times \bar{H}(z, t) \Big|_{z=0} \\ &= (-\hat{z}) \times \hat{y} \frac{10^{-4}}{\pi} \cos(2\pi \times 10^8 t) \\ &= \hat{x} \frac{10^{-4}}{\pi} \cos(2\pi \times 10^8 t) \quad \text{A/m} \end{aligned}$$

例2 一均匀平面波沿 $+z$ 方向传播，其电场强度矢量为

$$\bar{E}_i = \hat{x}100\sin(\omega t - \beta z) + \hat{y}200\cos(\omega t - \beta z) \text{ V/m}$$

(1) 求相伴的磁场强度；

(2) 若在传播方向上 $z=0$ 处，放置一无限大的理想导体平板，求区域 $z<0$ 中的电场强度和磁场强度；

(3) 求理想导体板表面的电流密度。

解：(1) 电场强度的复数表示

$$\bar{E}_i = \hat{x}100e^{-j\beta z}e^{-j\pi/2} + \hat{y}200e^{-j\beta z}$$

$$\bar{H}_i = \frac{1}{\eta_0} \hat{z} \times \bar{E}_i = \frac{1}{\eta_0} (-\hat{x}200e^{-j\beta z} + \hat{y}100e^{-j\beta z}e^{-j\pi/2})$$

磁场瞬时表达式

$$\begin{aligned} H_i(z, t) &= \text{Re}[H_i(z)e^{j\omega t}] \\ &= \frac{1}{\eta_0} \left(-\hat{x}200 \cos(\omega t - \beta z) + \hat{y}100 \cos\left(\omega t - \beta z - \frac{\pi}{2}\right) \right) \end{aligned}$$

(2) 反射波的电场为

$$\bar{E}_r(z) = -\hat{x}100e^{j\beta z}e^{-j\pi/2} - \hat{y}200e^{j\beta z}$$

反射波的磁场为

$$\bar{H}_r(z) = \frac{1}{\eta_0} (-\hat{z} \times \bar{E}_r) = \frac{1}{\eta_0} (-\hat{x}200e^{j\beta z} + \hat{y}100e^{j\beta z}e^{-j\pi/2})$$

在区域 $z < 0$ 的合成波电场和磁场分别为

$$\overline{E}_1 = \overline{E}_i + \overline{E}_r = -\hat{x}j200e^{-j\pi/2} \sin(\beta z) - \hat{y}j400 \sin(\beta z)$$

$$\overline{H}_1 = \overline{H}_i + \overline{H}_r = \frac{1}{\eta_0} \left[-\hat{x}400 \cos(\beta z) + \hat{y}200e^{-j\pi/2} \cos(\beta z) \right]$$

(3) 理想导体表面电流密度为

$$\begin{aligned} \overline{J}_s &= -\hat{z} \times \overline{H}_1 \Big|_{z=0} \\ &= \hat{x} \frac{200}{\eta_0} e^{-j\pi/2} + \hat{y} \frac{400}{\eta_0} = -\hat{x}j0.53 + \hat{y}1.06 \end{aligned}$$

§ 6.1 平面波对平面边界的垂直入射

Normal Incidence at a Plane Boundary

- 对理想导体的垂直入射
- **对理想介质的垂直入射**
- 对多层边界的垂直入射

二、对理想介质的垂直入射

1. 场量表示

入射波表示为:

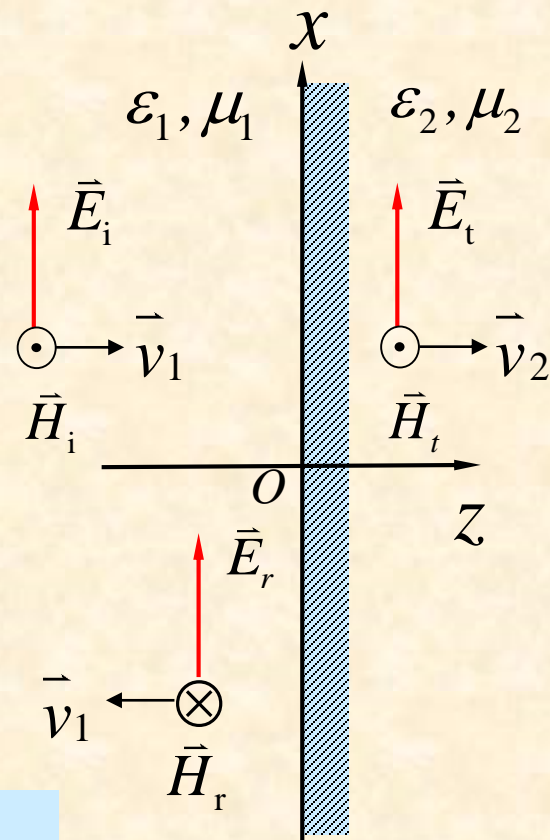
$$\begin{cases} \bar{E}_i = \hat{x}E_{i0}e^{-jk_1z} \\ \bar{H}_i = \frac{1}{\eta_1} \hat{z} \times \bar{E}_i = \hat{y} \frac{E_{i0}}{\eta_1} e^{-jk_1z} \end{cases}$$

反射波表示为:

$$\begin{cases} \bar{E}_r = \hat{x}E_{r0}e^{jk_1z} \\ \bar{H}_r = \frac{1}{\eta_1} (-\hat{z}) \times \bar{E}_r = -\hat{y} \frac{E_{r0}}{\eta_1} e^{jk_1z} \end{cases}$$

透射波表示为:

$$\begin{cases} \dot{\bar{E}}_t = \hat{x}\dot{E}_{t0}e^{-jk_2z} \\ \dot{\bar{H}}_t = \frac{1}{\eta_2} \hat{z} \times \dot{\bar{E}}_t = \hat{y} \frac{\dot{E}_{t0}}{\eta_2} e^{-jk_2z} \end{cases}$$



根据边界条件: 在 $z=0$ 处有: $E_{1t} = E_{2t}$ $H_{1t} = H_{2t}$

其中

$$k_1 = \omega \sqrt{\mu_1 \varepsilon_1} = \frac{2\pi}{\lambda_1}, \quad \eta_1 = \sqrt{\frac{\mu_1}{\varepsilon_1}}$$

$$k_2 = \omega \sqrt{\mu_2 \varepsilon_2} = \frac{2\pi}{\lambda_2}, \quad \eta_2 = \sqrt{\frac{\mu_2}{\varepsilon_2}}$$

在界面 $z=0$ 处, 根据边界两侧的切向电场连续:

$$\hat{x}\dot{E}_{i0} + \hat{x}\dot{E}_{r0} = \hat{x}\dot{E}_{t0}$$

界面两侧的切向磁场也连续:

$$\hat{y}\frac{\dot{E}_{i0}}{\eta_1} - \hat{y}\frac{\dot{E}_{r0}}{\eta_1} = \hat{y}\frac{\dot{E}_{t0}}{\eta_2}$$

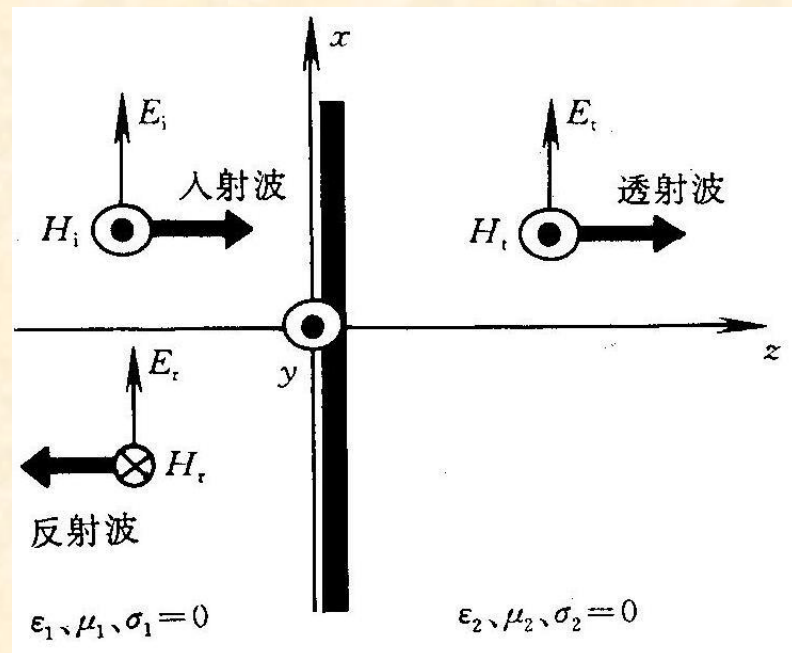
由上两式得到:

$$\begin{cases} \dot{E}_{i0} + \dot{E}_{r0} = \dot{E}_{t0} \\ \frac{\dot{E}_{i0}}{\eta_1} - \frac{\dot{E}_{r0}}{\eta_1} = \frac{\dot{E}_{t0}}{\eta_2} \end{cases}$$

解得:

$$\dot{E}_{r0} = \frac{\eta_2 - \eta_1}{\eta_2 + \eta_1} \dot{E}_{i0} = \Gamma \dot{E}_{i0}$$

$$\dot{E}_{t0} = \frac{2\eta_2}{\eta_2 + \eta_1} \dot{E}_{i0} = T \dot{E}_{i0}$$



反射系数 $\Gamma = \frac{\dot{E}_{r0}}{\dot{E}_{i0}} = \frac{\eta_2 - \eta_1}{\eta_2 + \eta_1}$

反射系数 Γ ：分界面上反射波电场强度与入射波电场强度之比。

透射系数 $T = \frac{\dot{E}_{t0}}{\dot{E}_{i0}} = \frac{2\eta_2}{\eta_2 + \eta_1}$

透射系数 T ：分界面上透射波电场强度与入射波电场强度之比。

R与T之间的关系为： $1 + \Gamma = T$

2. 合成场特点

1) 媒质2中的电场磁场

媒质2中的电场强度和磁场强度:

$$\dot{\vec{E}}_2 = \dot{\vec{E}}_t = \hat{x} T \dot{E}_{i0} e^{-jk_2 z}$$

$$\dot{\vec{H}}_2 = \dot{\vec{H}}_t = \hat{y} \frac{T \dot{E}_{i0}}{\eta_2} e^{-jk_2 z}$$

透射波： 向 \mathbf{z} 方向前进的波；
与无界理想介质中的均匀平面波相同；

2)媒质1中的电场和磁场

对于理想介质和一般的电介质，其磁导率 μ 非常接近于真空的磁导率 μ_0 ， $\mu_1 = \mu_2 = \mu_0$

因此，可简化：

$$\Gamma = \frac{\eta_2 - \eta_1}{\eta_2 + \eta_1} = \frac{\sqrt{\frac{\mu_0}{\epsilon_2}} - \sqrt{\frac{\mu_0}{\epsilon_1}}}{\sqrt{\frac{\mu_0}{\epsilon_2}} + \sqrt{\frac{\mu_0}{\epsilon_1}}} = \frac{\sqrt{\epsilon_1} - \sqrt{\epsilon_2}}{\sqrt{\epsilon_1} + \sqrt{\epsilon_2}}$$

$$T = \frac{2\sqrt{\epsilon_1}}{\sqrt{\epsilon_1} + \sqrt{\epsilon_2}}$$

结论：

- 波在介质分界面上的反射和透射主要取决于两介质介电常数（或折射率）的差异。
- 若 $\epsilon_1 > \epsilon_2$ ，则反射波电场与入射波电场同相；
- 若 $\epsilon_1 < \epsilon_2$ ，则反射波电场与入射波电场反相。
- 透射波电场与入射波电场总是同相的。

设 $\mu_1 = \mu_2 = \mu_0$ 若 $\varepsilon_1 < \varepsilon_2$, 即 $\eta_1 > \eta_2$

$$\Gamma = \frac{\eta_2 - \eta_1}{\eta_2 + \eta_1} = \frac{\sqrt{\varepsilon_1} - \sqrt{\varepsilon_2}}{\sqrt{\varepsilon_1} + \sqrt{\varepsilon_2}} = -|\Gamma| \quad 0 \leq |\Gamma| \leq 1$$

$$T = \frac{2\eta_2}{\eta_2 + \eta_1} = 1 - |\Gamma|$$

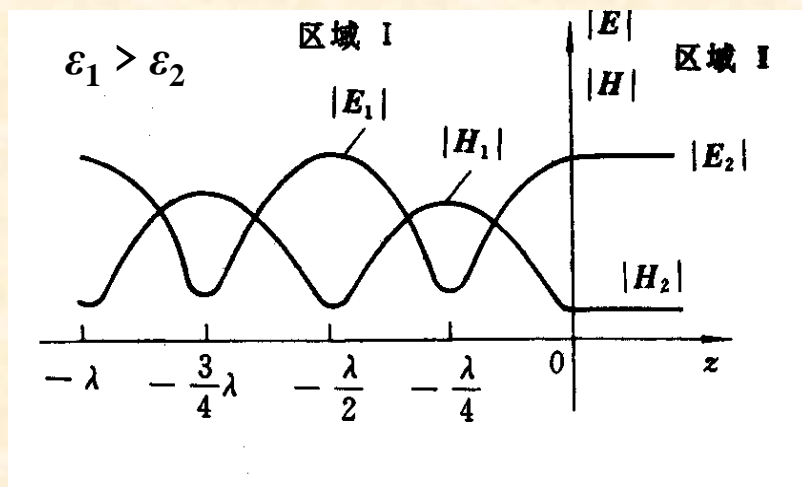
$$\dot{\vec{E}}_1 = \dot{\vec{E}}_i + \dot{\vec{E}}_r = \hat{x}\dot{E}_{i0} \left(e^{-jk_1 z} + \Gamma e^{jk_1 z} \right)$$

$$\dot{\vec{H}}_1 = \dot{\vec{H}}_i + \dot{\vec{H}}_r = \hat{y} \frac{\dot{E}_{i0}}{\eta_1} \left(e^{-jk_1 z} - \Gamma e^{jk_1 z} \right)$$

媒质1中的电场强度和磁场强度:

$$\dot{\vec{E}}_1 = \dot{\vec{E}}_i + \dot{\vec{E}}_r = \hat{x} \dot{E}_{i0} (e^{-jk_1 z} + \Gamma e^{jk_1 z})$$

$$\dot{\vec{H}}_1 = \dot{\vec{H}}_i + \dot{\vec{H}}_r = \hat{y} \frac{\dot{E}_{i0}}{\eta_1} (e^{-jk_1 z} - \Gamma e^{jk_1 z})$$



$$\Gamma = \frac{\eta_2 - \eta_1}{\eta_2 + \eta_1} = \frac{\sqrt{\frac{\mu_0}{\epsilon_2}} - \sqrt{\frac{\mu_0}{\epsilon_1}}}{\sqrt{\frac{\mu_0}{\epsilon_2}} + \sqrt{\frac{\mu_0}{\epsilon_1}}} = \frac{\sqrt{\epsilon_1} - \sqrt{\epsilon_2}}{\sqrt{\epsilon_1} + \sqrt{\epsilon_2}}$$

$$T = \frac{2\sqrt{\epsilon_1}}{\sqrt{\epsilon_1} + \sqrt{\epsilon_2}}$$

- 若 $\epsilon_1 < \epsilon_2$ ，则反射波电场与入射波电场反相；在分界面处总电场达到极小值。
- 若 $\epsilon_1 > \epsilon_2$ ，则反射波电场与入射波电场同相；在分界面处总电场达到极大值。

(1) 行驻波 设 $\mu_1 = \mu_2 = \mu_0$ 若 $\varepsilon_1 < \varepsilon_2$, 即 $\eta_1 > \eta_2$

讨论:

媒质1中的电磁场: $\dot{\vec{E}}_1 = \hat{x} \dot{E}_{i0} (1 - |\Gamma| e^{j2k_1 z}) e^{-jk_1 z}$

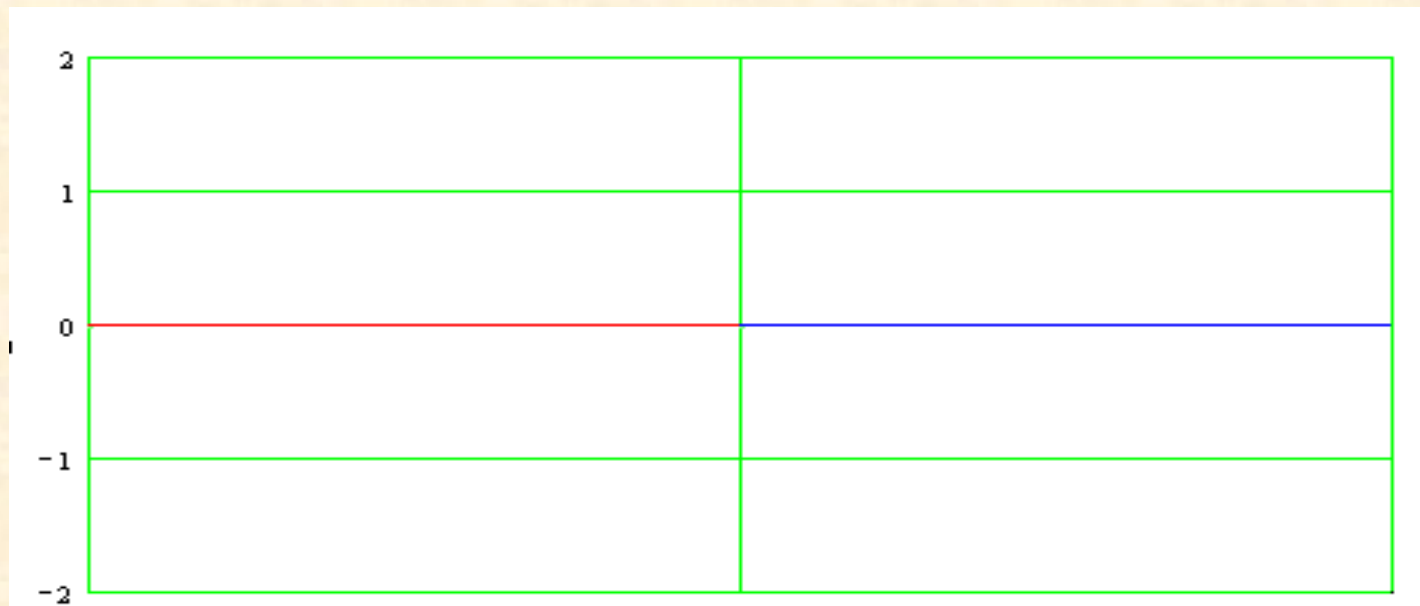
$$\dot{\vec{H}}_1 = \hat{y} \frac{\dot{E}_{i0}}{\eta_1} (1 + |\Gamma| e^{j2k_1 z}) e^{-jk_1 z}$$

在 $2\beta_1 z = -2n\pi$ 即 $z = -n\lambda_1 / 2$ 处, 电场振幅达到最小值(电场波节点)

$$\left| \dot{\vec{E}}_1 \right|_{\min} = \dot{E}_{i0} (1 - |\Gamma|)$$

在 $2\beta_1 z = -(2n+1)\pi$, 即 $z = -(2n+1)\lambda_1 / 4$ 处, 电场振幅达到最大值(电场波腹点)

$$\left| \dot{\vec{E}}_1 \right|_{\max} = \dot{E}_{i0} (1 + |\Gamma|)$$



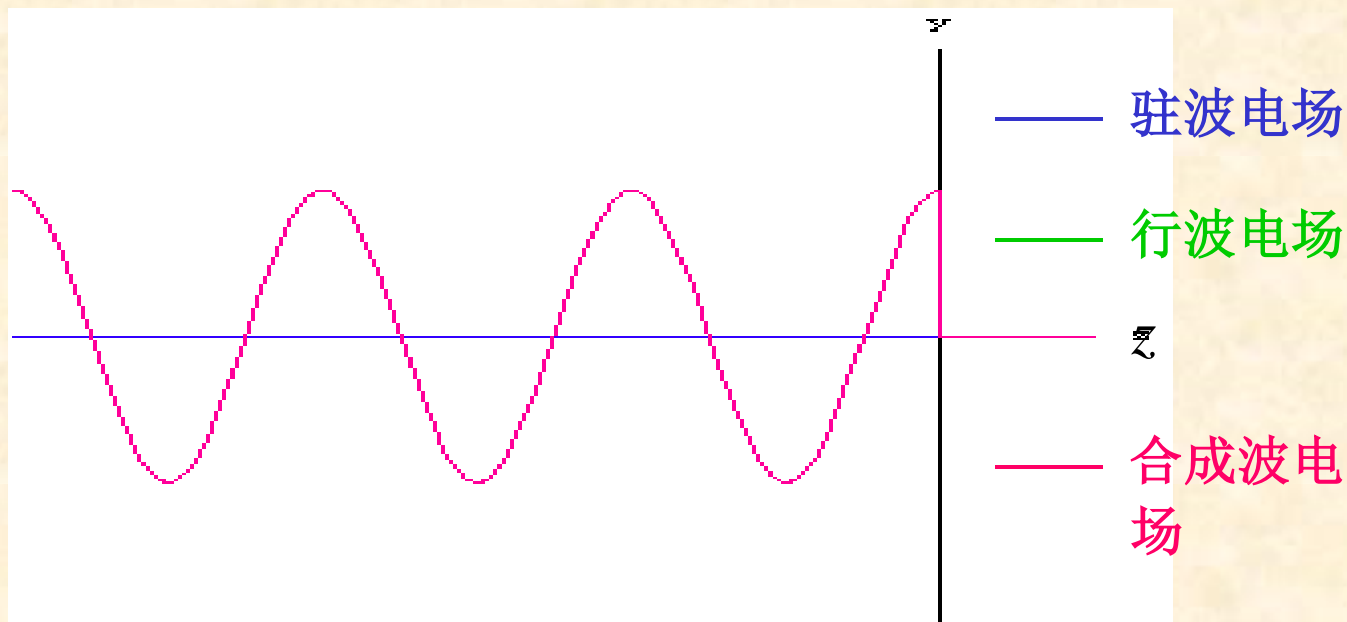
(a) 行驻波的电磁场振幅分布

合成场振幅最小值和最大值的形成

- **波节点**，反射波和入射波的电场反相，合成场最小；**波腹点**，反射波和入射波的电场同相，合成场最大。这些值的位置不随时间而变化，具有驻波特性。
- 反射波振幅只是入射波振幅的一部分，**反射波与入射波的一部分形成驻波**，另一部分还是行波，电场振幅的最小值不为零，最大值也不为 $2E_{i0}$ 。
行驻波（既有驻波部分，也有行波部分）。
- 同样，磁场振幅也呈行驻波的周期性变化，磁场的波节点对应于电场的波腹点，磁场的波腹点对应于电场的波节点。

动画：
垂直入射于理想
介质平面波的反射

设 $\mu_1 = \mu_2 = \mu_0$ 若 $\varepsilon_1 > \varepsilon_2$, 即 $\eta_1 < \eta_2$ $R > 0$



(2) 驻波比 S (电场振幅最大值与最小值之比, VSWR)

$$S = \frac{\left| \dot{\vec{E}} \right|_{\max}}{\left| \dot{\vec{E}} \right|_{\min}} = \frac{1 + |\Gamma|}{1 - |\Gamma|}$$

$$|\Gamma| = \frac{S - 1}{S + 1}$$

讨论

当 $\Gamma=0$ 时, $S=1$, 无反射波为行波, 称为匹配状态, 全部入射功率都进入媒质2。

例: 光学镜片、“隐身”飞机。

当 $\Gamma=\pm 1$ 时, $S=\infty$, 是纯驻波。

当 $0 < |\Gamma| < 1$ 时, $1 < S < \infty$, 为混合波, 即行驻波。

(3) 入射波能量、反射波能量和透射波能量间的关系——坡印廷矢量平均值

$$\bar{S}_i^{av} = \text{Re} \left[\frac{1}{2} \dot{\vec{E}}_i \times \dot{\vec{H}}_i^* \right] = \hat{z} \frac{E_{i0}^2}{2\eta_1}$$

$$\bar{S}_r^{av} = \text{Re} \left[\frac{1}{2} \dot{\vec{E}}_r \times \dot{\vec{H}}_r^* \right] = -\hat{z} \frac{|\Gamma|^2 E_{i0}^2}{2\eta_1} = -|\Gamma|^2 \bar{S}_i^{av}$$

区域1中合成场传输的总平均功率流密度:

$$\bar{S}_1^{av} = \text{Re} \left[\frac{1}{2} \dot{\vec{E}}_1 \times \dot{\vec{H}}_1^* \right] = \hat{z} \frac{E_{i0}^2}{2\eta_1} (1 - |\Gamma|^2) = \bar{S}_i^{av} (1 - |\Gamma|^2)$$

等于入射波传输的功率减去反向传输的反射波功率。

区域2中z向透射波传输的平均功率流密度:

$$\bar{S}_2^{av} = \bar{S}_t^{av} = \text{Re} \left[\frac{1}{2} \dot{\vec{E}}_t \times \dot{\vec{H}}_t^* \right] = \hat{z} \frac{|T|^2 E_{i0}^2}{2\eta_2} = \frac{\eta_1}{\eta_2} |T|^2 \bar{S}_i^{av}$$

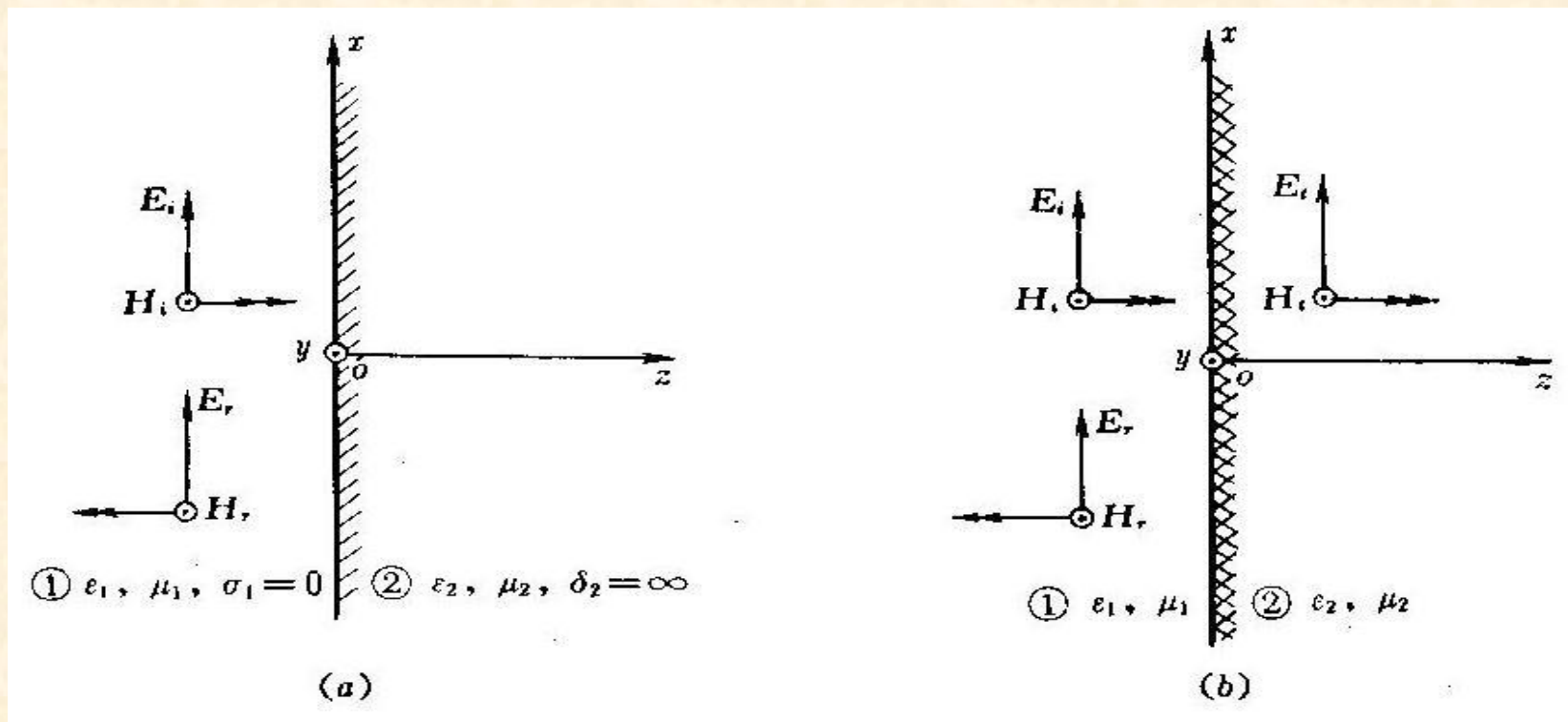
由于
$$\bar{S}_1^{\text{av}} = \bar{S}_i^{\text{av}} (1 - |\Gamma|^2) = \bar{S}_i^{\text{av}} \frac{4\sqrt{\frac{\epsilon_2}{\epsilon_1}}}{\left(1 + \sqrt{\frac{\epsilon_2}{\epsilon_1}}\right)^2}$$

而
$$\bar{S}_2^{\text{av}} = \bar{S}_i^{\text{av}} \frac{\eta_1}{\eta_2} |T|^2 = \bar{S}_i^{\text{av}} \frac{4\sqrt{\frac{\epsilon_2}{\epsilon_1}}}{\left(1 + \sqrt{\frac{\epsilon_2}{\epsilon_1}}\right)^2}$$

所以
$$\bar{S}_1^{\text{av}} = \bar{S}_2^{\text{av}}$$

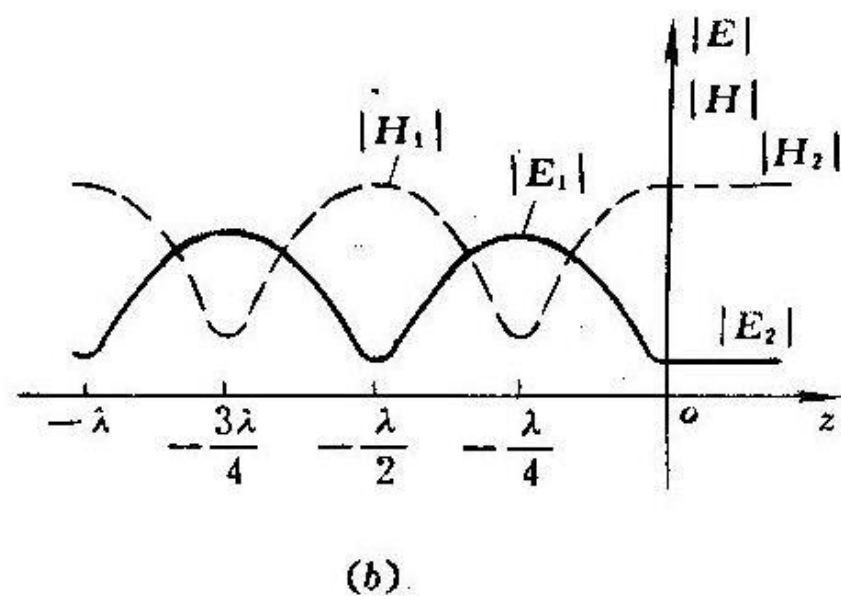
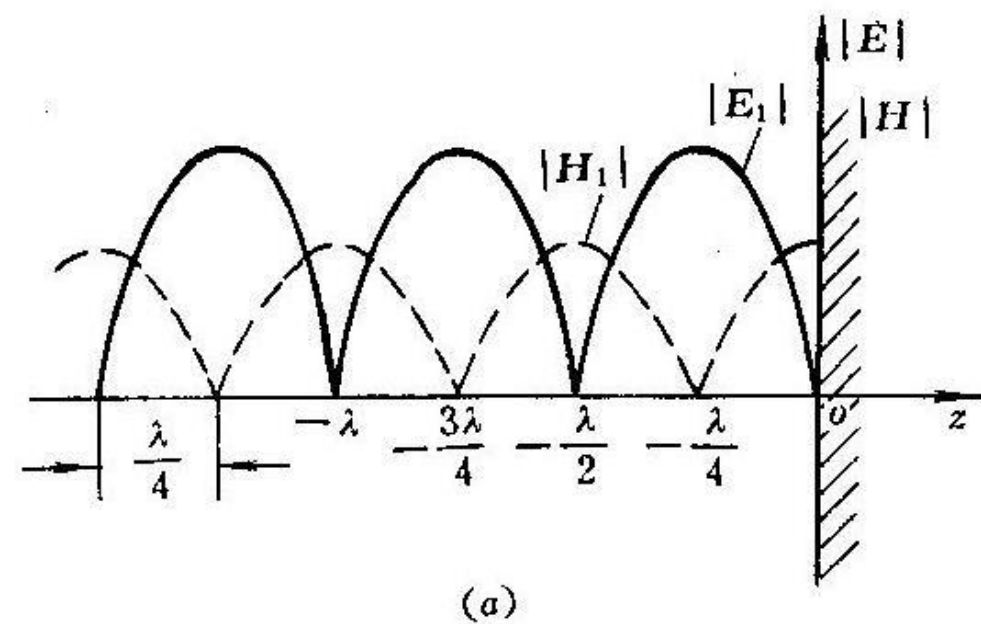
区域1中传输的合成场功率等于向区域2透射的功率

平面波的垂直入射 --- 小结



$$\Gamma = \frac{\dot{E}_{r0}}{\dot{E}_{i0}} = \frac{\eta_2 - \eta_1}{\eta_2 + \eta_1}$$

$$T = \frac{\dot{E}_{t0}}{\dot{E}_{i0}} = \frac{2\eta_2}{\eta_2 + \eta_1}$$



$$S = \frac{\left| \dot{\vec{E}} \right|_{\max}}{\left| \dot{\vec{E}} \right|_{\min}} = \frac{1 + |\Gamma|}{1 - |\Gamma|}$$

驻波和行驻波的电磁场振幅分布

能量关系

$$\bar{S}_i^{\text{av}} = \hat{z} \frac{E_{i0}^2}{2\eta_1} \quad \bar{S}_r^{\text{av}} = -|\Gamma|^2 \bar{S}_i^{\text{av}}$$

区域1中合成场传输的总平均功率流密度:

$$\bar{S}_1^{\text{av}} = \bar{S}_i^{\text{av}} (1 - |\Gamma|^2) \quad \text{等于入射波传输的功率减去反向传输的反射波功率。}$$

区域2中z向透射波传输的平均功率流密度:

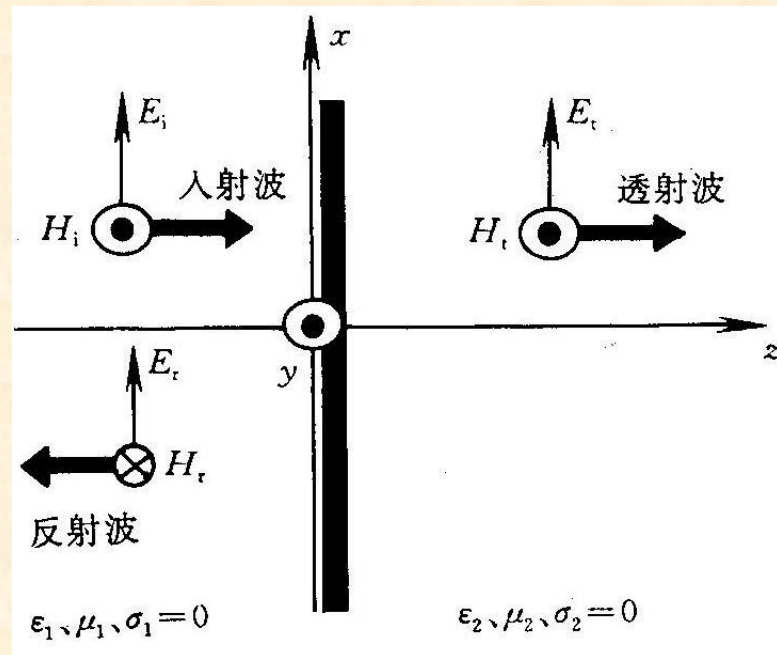
$$\bar{S}_2^{\text{av}} = \bar{S}_t^{\text{av}} = \bar{S}_i^{\text{av}} \frac{\eta_1}{\eta_2} |T|^2 = \bar{S}_1^{\text{av}} = (1 - |\Gamma|^2) \bar{S}_i^{\text{av}}$$

例3 频率为 $f=300\text{MHz}$ 的线极化均匀平面电磁波，其电场强度振幅值为 2V/m ，从空气垂直入射到 $\epsilon_r=4$ 、 $\mu_r=1$ 的理想介质平面上，求：

- (1) 反射系数、透射系数、驻波比；
- (2) 入射波、反射波和透射波的电场和磁场；
- (3) 入射功率、反射功率和透射功率。

解：设入射波为 x 方向的线极化波，

沿 z 方向传播



(1) 波阻抗

$$\eta_1 = \sqrt{\frac{\mu_0}{\varepsilon_0}} = 120\pi, \quad \eta_2 = \sqrt{\frac{\mu_0}{\varepsilon}} = \sqrt{\frac{\mu_0}{4\varepsilon_0}} = 60\pi$$

反射系数、透射系数和驻波比：

$$\Gamma = \frac{\eta_2 - \eta_1}{\eta_2 + \eta_1} = -\frac{1}{3}$$

$$T = \frac{2\eta_{21}}{\eta_2 + \eta_1} = \frac{2}{3}$$

$$S = \frac{1 + |\Gamma|}{1 - |\Gamma|} = 2$$

(2) 入射波、反射波、透射波的电场和磁场:

$$f = 300\text{MHz}, \quad \lambda_1 = \frac{c}{f} = 1\text{m}, \quad \lambda_2 = \frac{v_2}{f} = \frac{c}{\sqrt{\epsilon_r} \cdot f} = 0.5\text{m}$$

$$k_1 = \frac{2\pi}{\lambda_1} = 2\pi, \quad k_2 = \frac{2\pi}{\lambda_2} = 4\pi$$

$$\bar{E}_i = \hat{x}E_{i0}e^{-jk_1z} = \hat{x}2e^{-j2\pi z}$$

$$\bar{H}_i = \hat{y} \frac{E_i}{\eta_1} e^{-jk_1z} = \hat{y} \frac{1}{60\pi} e^{-j2\pi z}$$

$$\bar{E}_r = \hat{x}\Gamma E_i e^{jk_1z} = -\hat{x} \frac{2}{3} e^{j2\pi z}$$

$$\bar{H}_r = -\hat{y}\Gamma \frac{E_i}{\eta_1} e^{jk_1z} = \hat{y} \frac{1}{180\pi} e^{j2\pi z}$$

$$\bar{E}_t = \hat{x}TE_{i0}e^{-jk_2z} = \hat{x} \frac{4}{3} e^{-j4\pi z},$$

$$\bar{H}_t = \hat{y} \frac{TE_{i0}}{\eta_2} e^{-jk_2z} = \hat{y} \frac{1}{45\pi} e^{-j4\pi z}.$$

(3) 入射波、反射波、透射波的平均功率密度为

$$\bar{S}_i^{\text{av}} = \hat{z} \frac{E_{i0}^2}{2\eta_1} = \hat{z} \frac{1}{60\pi}$$

$$\bar{S}_r^{\text{av}} = -\hat{z} \frac{E_{r0}^2}{2\eta_1} = -\hat{z} \frac{|\Gamma|^2 E_{i0}^2}{2\eta_1} = -\hat{z} \frac{1}{540\pi}$$

$$\bar{S}_t^{\text{av}} = \hat{z} \frac{E_{t0}^2}{2\eta_2} = \hat{z} \frac{|T|^2 E_{i0}^2}{2\eta_2} = \hat{z} \frac{2}{135\pi}$$

$$\left| \bar{S}_i^{\text{av}} \right| - \left| \bar{S}_r^{\text{av}} \right| = \left| \bar{S}_i^{\text{av}} \right| (1 - |\Gamma|^2) = \left| \bar{S}_t^{\text{av}} \right|$$

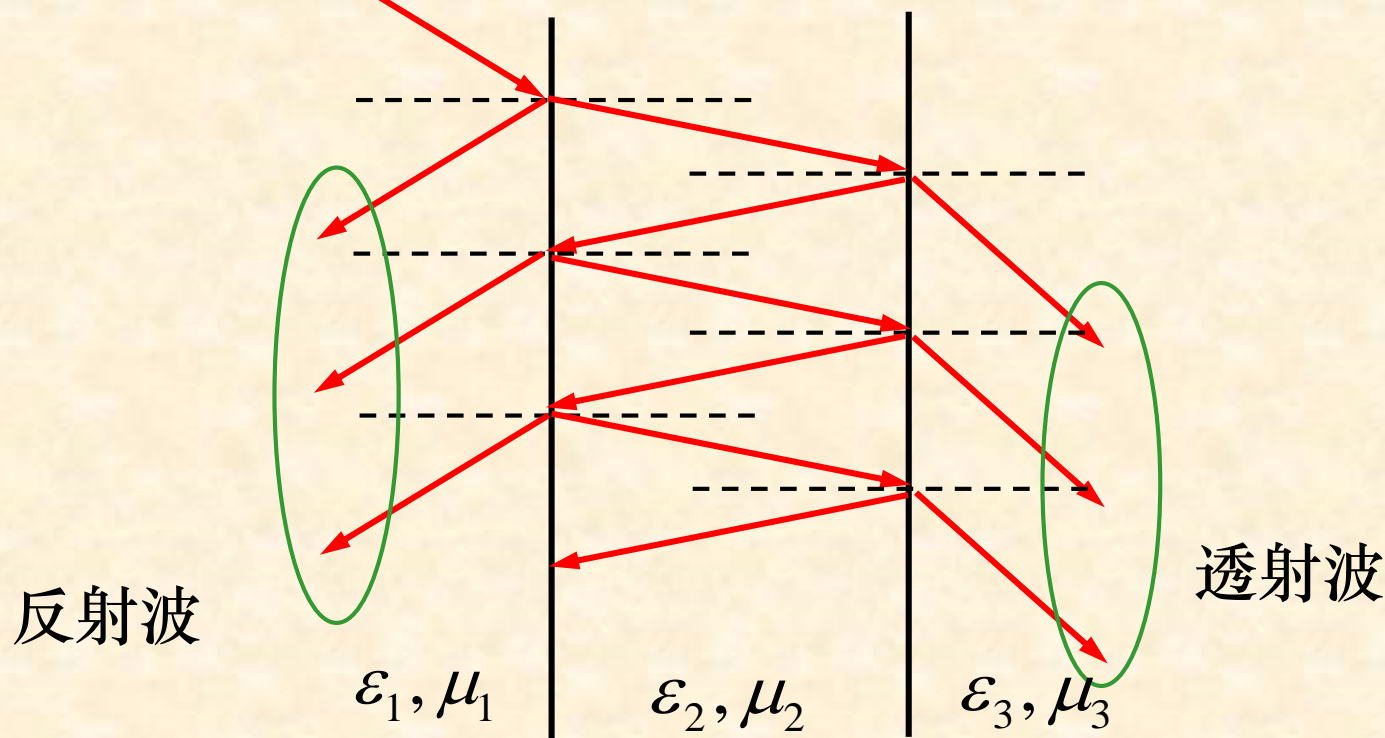
P.170 例6.1-1

例6.1-2

三、均匀平面波对多层介质分界平面的垂直入射

在工程实际中，多层介质的应用很广：**如雷达罩、频率选择表面、吸波涂层等。**

入射波

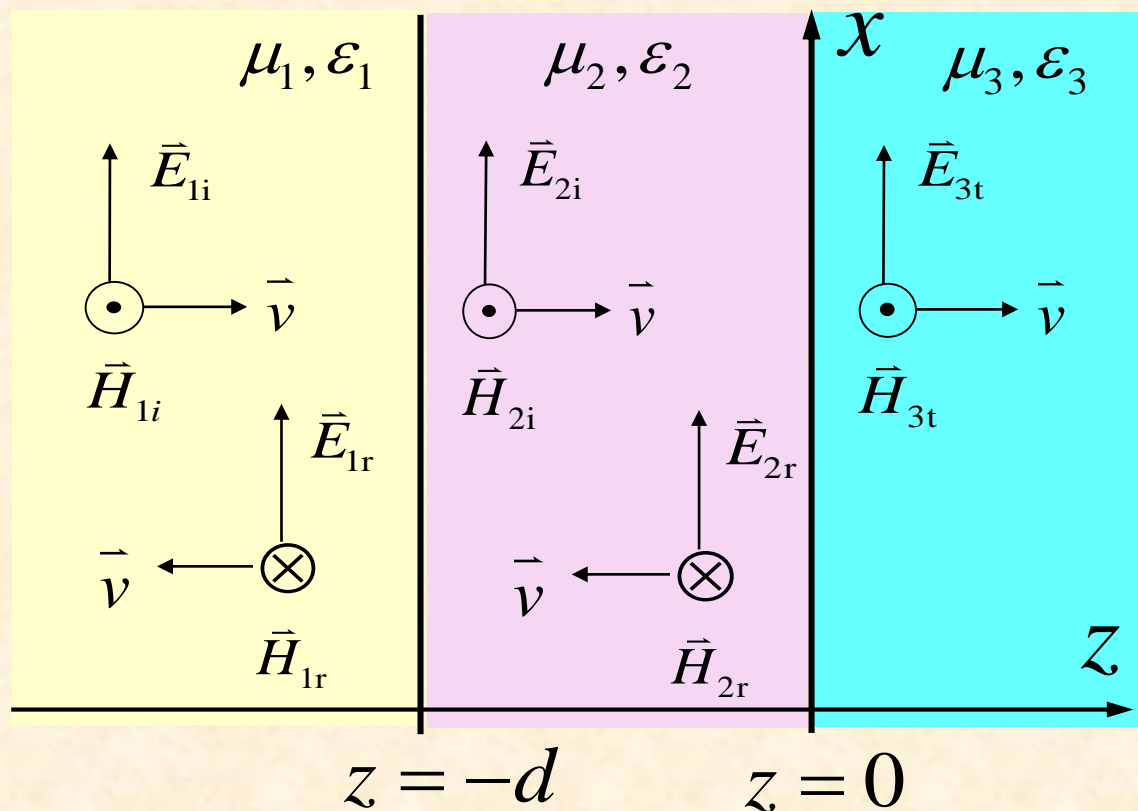


本节内容

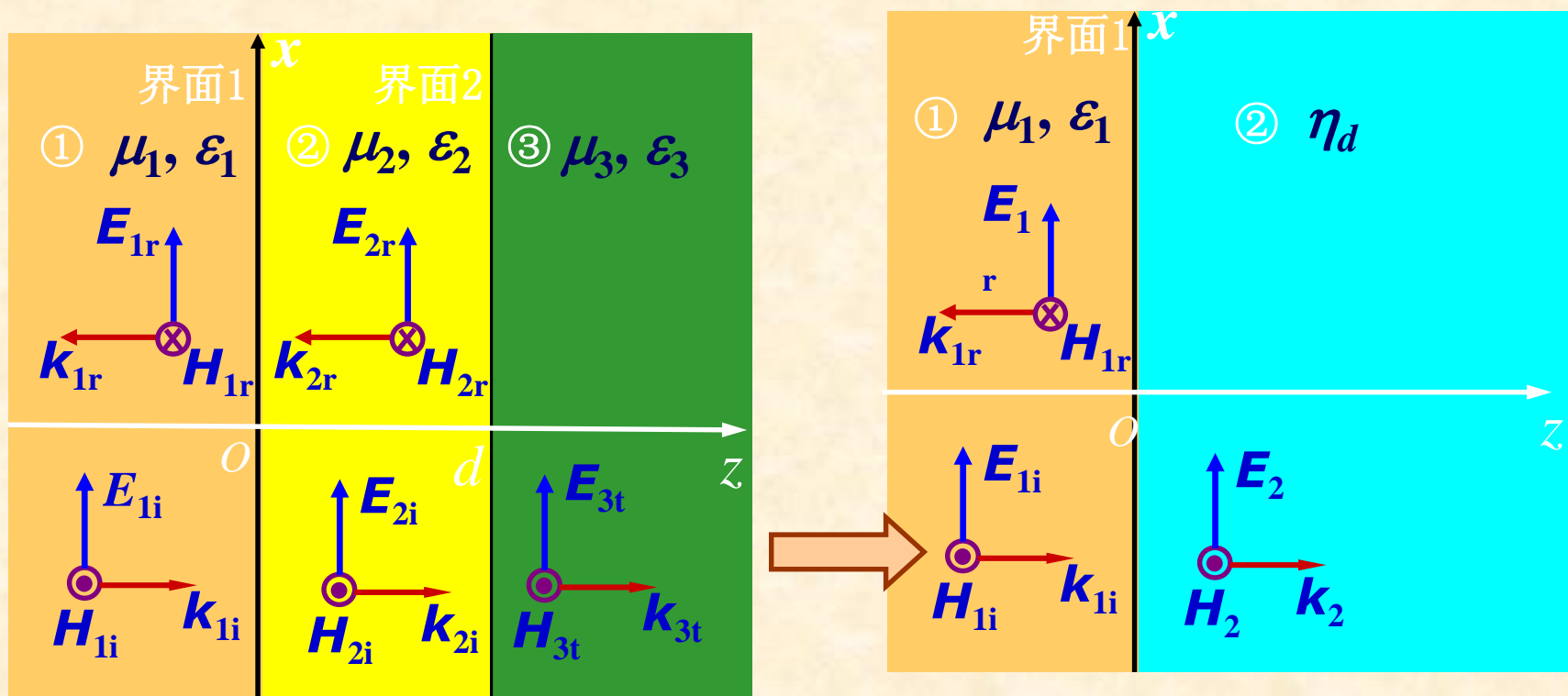
1. 多层介质中的场量关系与等效波阻抗
2. 四分之一波长匹配层多
3. 半波长介质窗

1. 多层介质中的场量关系与等效波阻抗

(1) 场量关系——边界条件



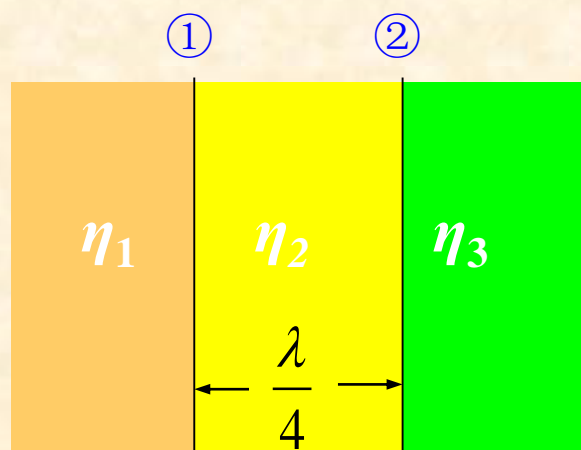
(2) 等效阻抗
$$\eta_d = \eta_2 \frac{\eta_3 + j\eta_2 \tan k_2 d}{\eta_2 + j\eta_3 \tan k_2 d}$$



引入等效波阻抗以后，在计算第一层媒质分界面上的反射系数 Γ_1 时，第二层媒质和第三层媒质可以看作等效波阻抗为 η_d 的一种媒质。

2. 四分之一波长匹配层

设两种理想介质的波阻抗分别为 η_1 与 η_3 ，为了消除分界面的反射，可在两种理想介质中间插入厚度为四分之一波长（该波长是指平面波在夹层中的波长）的理想介质夹层，如图所示。



$$\eta_d = \eta_2 \frac{\eta_3 + j\eta_2 \tan k_2 d}{\eta_2 + j\eta_3 \tan k_2 d}$$

为了消除反射，必须要求 $\eta_d = \eta_1$ ，那么由上式得

$$\eta_1 = \frac{\eta_2^2}{\eta_3} \quad \Rightarrow \quad \eta_2 = \sqrt{\eta_1 \eta_3}$$

P.183 例 6.1-4

3. 半波长介质窗

如果介质1和介质3是相同的介质，即 $\eta_3 = \eta_1$ ，当介质2的厚度 $d = \lambda_2 / 2$ 时，有

$$\eta_d = \eta_2 \frac{\eta_3 + j\eta_2 \tan k_2 d}{\eta_2 + j\eta_3 \tan k_2 d} = \eta_3 = \eta_1$$

则，介质1与介质2分界面上的反射系数 $R_{z=-d} = \frac{\eta_d - \eta_1}{\eta_d + \eta_1} = 0$

同时， $E_{3tm} = -E_{1im}$

结论：电磁波可以**无损耗**地通过厚度为 $\lambda/2$ 的介质层。

因此，这种厚度 $d = \lambda/2$ 的介质层又称为**半波长介质窗**。

应用：雷达天线罩

为了使雷达天线免受恶劣环境的影响，通常用天线罩将天线保护起来；

若天线罩的**介质层厚度**设计为该介质中的**电磁波的半个波长**，根据半波长介质窗原理，就可以消除天线罩对电磁波的反射。

P.173 例 6.1-3

例4

在介质(1)中传播的均匀平面波的电场强度

$$\vec{E}_i(t) = \hat{x} \cos \pi(10^8 t - z) + \hat{y} 2 \sin \pi(10^8 t - z) (V/m)$$

- 求：1、其真空中波长 λ_0 、(1)区中波长 λ_1 及(1)区媒质相对介电常数
- 2、写出该平面波的电场复矢量和磁场复矢量和，并指出这是什么极化波；
- 3、若此平面波向理想导体(2)表面垂直入射，求反射波电场复矢量和磁场复矢量，这是什么极化波；

$$\text{解: } 1. \quad \lambda_0 = \frac{c}{\omega / 2\pi} = \frac{3 \times 10^8}{10^8 \pi / 2\pi} = 6m \quad \lambda = \frac{2\pi}{k} = \frac{2\pi}{\pi} = 2m$$

$$\sqrt{\epsilon_r} = \frac{k}{\omega \sqrt{\mu_0 \epsilon_0}} = \frac{kc}{\omega} = \frac{\pi \times 3 \times 10^8}{10^8 \pi} = 3 \quad \epsilon_r = 9$$

$$2. \quad \bar{E}_i = \hat{x}e^{-j\pi z} + \hat{y}2e^{-j\pi z - j\frac{\pi}{2}} = (\hat{x} - \hat{y}j2)e^{-j\pi z} \quad (V/m)$$

$$\bar{H}_i = \frac{1}{\eta} \hat{z} \times \bar{E}_i = (\hat{x}j2 + \hat{y}) \frac{1}{\eta} e^{-j\pi z} \quad (A/m) \quad \text{式中} \quad \eta = \sqrt{\frac{\mu_0}{\epsilon_0 \epsilon_r}} = \frac{120\pi}{\sqrt{\epsilon_r}} = 40\pi \quad (\Omega)$$

右旋椭圆极化波

$$3. \quad \bar{E}_r = -(\hat{x} - \hat{y}j2)e^{j\pi z}$$

$$\bar{H}_r = \frac{1}{\eta} (-\hat{z}) \times \bar{E}_r = (\hat{x}j2 + \hat{y}) \frac{1}{\eta} e^{j\pi z} \quad \eta = 40\pi \quad (\Omega)$$

左旋椭圆极化波

作 业： 6.1-4